

06

© 1990 г.

## ДРЕЙФ ВЕРТИКАЛЬНЫХ БЛОХОВСКИХ ЛИНИЙ В ПОЛОСОВОМ ДОМЕНЕ В ПЕРЕМЕННОМ ПЛАНАРНОМ ПОЛЕ

*A. M. Гришин, A. Ю. Мартынович*

1. В последние годы активно исследуется возможность создания запоминающих устройств на вертикальных блоховских линиях (ВБЛ) (см., например,<sup>[1, 2]</sup>). Регистром хранения информации на ВБЛ служит полосовой домен (ПД). Фиксирование определенной последовательности ВБЛ в доменной границе (ДГ) ПД осуществляют в ямах : потенциального рельефа, сформированного вдоль ДГ, или используя коэрцитивность материала. Поступательное движение ВБЛ в границе ПД вызывают действием импульсов поля смещения.

В настоящей работе показано, что динамика ВБЛ в ДГ, закрепленной в асимметричной потенциальной яме (возникающей на границе раздела участков пленки с различающимися значениями параметров), существенно отличается от движения ВБЛ в свободной ДГ. Показано, что переменное планарное поле приводит к возвратно-поступательному движению с дрейфом ВБЛ вдоль ДГ. Если поворот намагниченности в ВБЛ в центре ДГ происходит по часовой стрелке (граница раздела сред остается справа от ДГ), то направление дрейфа ВБЛ определяется правилом буравчика: он ввинчивается в сторону дрейфа ВБЛ, когда движение его рукоятки указывает направление намагниченности в домене.

2. Рассмотрим случай закрепления ПД на имплантированной полоске (ИП) — протяженном участке магнитоодносной пленки с отличающимися от основной части пленки значениями параметров. При этом замкнутая граница ПД на всем своем протяжении охватывает этот участок. Такую ситуацию можно реализовать, вытравив в магнитоодносной пленке толщины  $h$  сквозное отверстие и заполнив его материалом с намагниченностью  $M_2$ , отличающейся от намагниченности пленки  $M_1$ .<sup>1</sup> Другой (более технологичный) прием заключается в создании на поверхности пленки неоднородного потенциального рельефа способом ионной имплантации.

Динамику вектора намагниченности  $M$  исследуем с помощью уравнений Ландау—Лифшица [3] в виде

$$\sin \theta \cdot \dot{\phi} - a \dot{\theta} = \frac{\gamma}{M} \frac{\delta W}{\delta \theta}, \quad (1.1)$$

$$\sin \theta \cdot \dot{\theta} + \alpha \cdot \sin^2 \theta \cdot \dot{\phi} = \frac{\gamma}{M} \frac{\delta W}{\delta \varphi}. \quad (1.2)$$

Здесь  $\theta$  и  $\varphi$  — полярный и азимутальный углы вектора  $M$  (рис. 1),  $\gamma$  — гиромагнитное отношение,  $\alpha$  — коэффициент затухания. Плотность энергии однородного феримагнетика

$$W = A [(\nabla \theta)^2 + \sin^2 \theta (\nabla \varphi)^2] - K \cos^2 \theta - MH - \frac{H^2}{8\pi} \quad (2)$$

<sup>1</sup> Здесь и в дальнейшем параметры основного материала обозначены индексом 1, а характеристики ИП — индексом 2.

содержит  $A$  и  $K$  — постоянные обмена и анизотропии,  $\mathbf{H}$  — внутреннее магнитное поле, являющееся решением уравнений магнитостатики

$$\operatorname{div}(\mathbf{H} + 4\pi \mathbf{M}) = 0, \quad \operatorname{rot} \mathbf{H} = 0 \quad (3)$$

со стандартными электродинамическими граничными условиями на поверхности ферромагнитной пленки. Уравнения (1) на границе ИП также должны быть дополнены условиями непрерывности углов  $\theta$  и  $\varphi$  и величин  $A\nabla\theta$  и  $A\nabla\varphi$ .

Внутреннее поле  $\mathbf{H}(\mathbf{r})$ , являющееся решением уравнений (3), может быть представлено квадратурой

$$\mathbf{H}(\mathbf{r}) = \mathbf{H}^0 - \nabla \int d^3 \mathbf{r}' (\mathbf{M}' \nabla') \frac{1}{|\mathbf{r} - \mathbf{r}'|}, \quad (4)$$

где  $\mathbf{H}^0$  — внешнее магнитное поле.

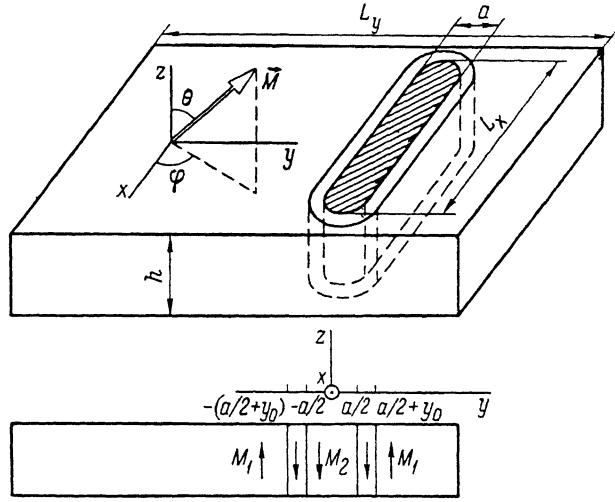


Рис. 1. Полосовой домен, закрепленный на участке пленки (заштрихован) с отличающимися от основной части материала параметрами.

Стрелками указано направление намагниченности  $M_1$  (в основной части пленки) и  $M_2$  (внутри ИП). Граница полосового домена находится на расстоянии  $y_0$  от края ИП.

Таким образом, строгое исследование задачи сводится к решению системы интегро-дифференциальных уравнений в частных производных. В общем случае эта задача неразрешима, поэтому мы используем несколько упрощающих предположений.

3. Будем считать, что в пленке образуется ПД шириной  $a+2y_0$  (рис. 1) с блоковскими ДГ. ДГ находятся на расстоянии  $y_0$  от границы ИП. В системе координат, начало которой лежит в центре ИП, пространственное распределение вектора намагниченности задаем в виде

$$M_z(\mathbf{r}) = \left[ M_1 - M(y_0) \theta \left( \left( y_0 + \frac{a}{2} \right)^2 - y^2 \right) + \operatorname{sgn} y_0 (M_1 - M_2) \theta \left( \frac{a^2}{4} - y^2 \right) \right] \times \\ \times \theta \left( \frac{h^2}{4} - z^2 \right),$$

$$M_x = M_y = 0, \quad M(y_0) = M_1 \theta(y_0) + M_2 \theta(-y_0). \quad (5)$$

Внутри ДГ поворот вектора намагниченности  $\mathbf{M}(\mathbf{r})$  опишем зависимостью

$$\theta = -\frac{\pi}{2} + 2 \operatorname{arctg} \operatorname{th} \left[ \frac{|y| - y_0 - \frac{a}{2}}{2 \Delta(y_0)} \right], \quad (6)$$

$\Delta(y_0) = \sqrt{A_1/K_1^*} \theta(y_0) + \sqrt{A_2/K_2^*} \theta(-y_0)$  — ширина, а  $\pm(y_0 + a/2)$  — координаты ДГ,  $K^* = K - 2\pi M^2$ .

Модельное распределение угла  $\theta$  в (6), вообще говоря, не удовлетворяет граничному условию  $A_1(\partial\theta/\partial y)=A_2(\partial\theta/\partial y)|_{|y|=a/2}$ . Это означает, что в непосредственной окрестности границы раздела при  $|y|=a/2$  формула (6) несправедлива. Тем не менее вдали от границ ИП, т. е. при  $|y_0| \gg \Delta$ , она удовлетворительно описывает распределение намагниченности. Именно в этой области она будет использоваться в дальнейшем.

Для описания структуры изолированных ВБЛ в блоховской ДГ используем распределение

$$\varphi = \frac{\pi}{2} + 2 \operatorname{arctg} \operatorname{th} \left[ \frac{x - x_0}{2\Delta \sqrt{Q(y_0)}} \right], \quad (7)$$

$$Q(y_0) = Q_1 \theta(y_0) + Q_2 \theta(-y_0), \quad Q = K^*/(2\pi M^2).$$

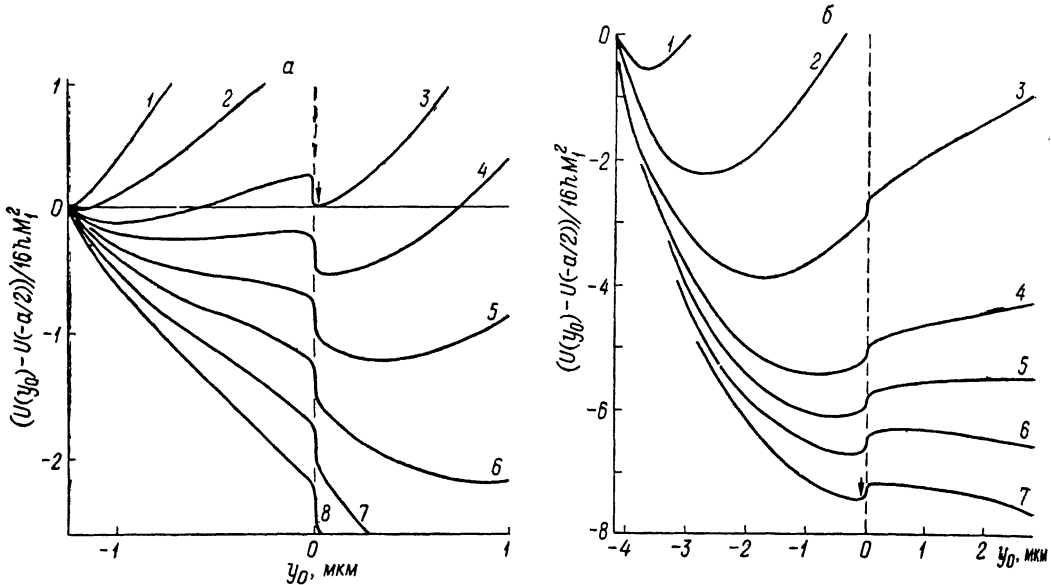


Рис. 2. Зависимость энергии взаимодействия ДГ с границей имплантированной полоски в функции координаты ДГ  $y_0$ .

Стрелками указан минимум потенциала  $U$ , в котором закрепляется граница полосового домена. Расчетные кривые приведены для пленки с параметрами:  $a = h = a = 2.5 \text{ мкм}$ ,  $M_1 = 76 \text{ кА/м}$ ,  $A_1 = 2 \text{ пДж/м}$ ,  $K_1 = -6.7 \text{ кДж/м}^3$ ,  $M_2 = 44 \text{ кА/м}$ ,  $A_2 = 3.1 \text{ пДж/м}$ ,  $K_2 = 5.7 \text{ кДж/м}^3$ ;  $1 - 10 M_1$ ,  $2 - 7 M_1$ ,  $3 - 5 M_1$ ,  $4 - 4 M_1$ ,  $5 - 3 M_1$ ,  $6 - H_x^0 = 2 M_1$ ,  $7 - M_1$ ,  $8 - H_x^0 = 0$ ;  $b = h = a = 8.4 \text{ мкм}$ ,  $M_1 = 140 \text{ кА/м}$ ,  $A_1 = 3.7 \text{ пДж/м}$ ,  $K_1 = -30.4 \text{ кДж/м}^3$ ,  $M_2 = 190 \text{ кА/м}$ ,  $A_2 = 2 \text{ пДж/м}$ ,  $K_2 = 7.3 \text{ кДж/м}^3$ ;  $1 - 10 M_1$ ,  $2 - 5 M_1$ ,  $3 - 2.5 M_1$ ,  $4 - M_1$ ,  $5 - 0.5 M_1$ ,  $6 - H_x^0 = 0$ ,  $7 - -0.5 M_1$ .

Формулами (5), (6) и (7) исчерпывается описание статического распределения намагниченности в пленке.

4. Чтобы описать динамику ВБЛ в ДГ пойдем по пути сокращения описания в уравнениях (1). От переменных  $\theta$  и  $\varphi$  перейдем к переменным  $y_0(x, t)$  и  $x_0(t)$  — координатам, характеризующим форму ДГ и положение на ней ВБЛ.

Подставим в уравнения (1) распределения углов  $\theta(y)$  (6) и  $\varphi(x)$  (7) и усредним уравнения по объему пленки: уравнение (1.2) проинтегрируем по  $x$  и  $y$ , а уравнение (1.1) только по  $y$ . Вариационные производные по  $\theta$  и  $\varphi$  предварительно заменим производными по  $y$  и  $x$ :  $\delta/(\partial\theta) = (\partial\theta/\partial y_0)^{-1} \cdot \delta/(\partial y_0)$  и  $\delta/(\partial\varphi) = (\partial\varphi/\partial x_0)^{-1} \cdot \delta/(\partial x_0)$ . При усреднении в правой части уравнений (1) появляется средняя по объему пленки плотность энергии ферромагнетика

$$\bar{W} = \frac{1}{L_y} [U(y_0) + \sigma(\nabla y_0)^2] - \frac{1}{L_x L_y} 2\pi\Delta \cdot M H_x^0 x_0. \quad (8)$$

Здесь

$$U(y_0) = 16h \left[ M^2 f(a + 2y_0) + \frac{1}{4} (M_1 - M_2)^2 f(a) + \right]$$

$$+ \operatorname{sgn} y_0 (M_2 - M_1) M [f(a + y_0) - f(|y_0|)] \Big] - 4 M H_z^0 \cdot y_0 + 2 \sigma(y_0),$$

$$f(y) = -\frac{y}{h} \operatorname{arctg} \frac{h}{y} + \left(\frac{y}{2h}\right)^2 \ln \left(1 + \frac{h^2}{y^2}\right) - \frac{1}{4} \ln \left(1 + \frac{y^2}{h^2}\right),$$

$\sigma(y_0) = 4\sqrt{A_1 K_1^*} \theta(y_0) + 4\sqrt{A_2 K_2^*} \theta(-y_0)$  — плотность энергии ДГ;  $L_x, L_y$  — размеры пленки вдоль и поперек ИП.

Результатом сокращения описания являются уравнения движения

$$\ddot{y}_0(x_0) + \frac{2\alpha}{\pi\sqrt{Q}} \dot{x}_0 = \Delta \gamma H_z^0(t), \quad (9.1)$$

$$-\frac{\partial^2 y_0}{\partial x^2} + \frac{\partial U}{\partial y_0} = \frac{2M}{\gamma \Delta \sqrt{Q}} \frac{\dot{x}_0}{\operatorname{ch} \left( \frac{x - x_0}{\Delta \sqrt{Q}} \right)} - \frac{2M\alpha}{\gamma \Delta} \dot{y}_0(x). \quad (9.2)$$

В эти уравнения в качестве констант  $M, \alpha, Q, \sigma, \gamma$  и  $\Delta$  подставляются параметры той части пленки, в которой закрепляется граница ПД. При выводе уравнений предполагалось, что на пленку воздействуют только постоянное магнитное поле смещения  $H_z^0$  и переменное планарное поле  $H_x^0(t)$ .

5. Уравнение (9.1) представляет собой баланс сил трения (пропорциональной  $\dot{x}_0$ ), гиротропной и магнитного давления со стороны планарного поля  $H_x^0$  на ВБЛ. Уравнение (9.2) описывает упругие колебания ДГ под действием гиротропной силы, создаваемой ВБЛ при движении вдоль ДГ.

В статике ( $\dot{x}_0 = \dot{y}_0 = 0$ ) равновесное положение прямолинейной ДГ определяется из уравнения (9.2)  $(\partial U)/(\partial y_0) = 0$ . На рис. 2 представлен потенциальный рельеф  $U(y_0)$ , в котором находится ДГ. Во внешнем поле  $H_z^0 > 0$  существует минимум потенциала  $U$ , обусловленный магнитостатическим взаимодействием в пленке. Кроме того, в случае  $M_1 > M_2, A_1 K_1^* < A_2 K_2^*(a)$  в поле  $H_z^0 \geq H_z^* = -2\pi(M_1 - M_2) + h(M_1 + M_2)f'(a)$  существует и второй минимум  $U(y_0)$ . В случае  $M_1 < M_2, A_1 K_1^* > A_2 K_2^*(b)$  второй минимум существует в полях  $H_z^0 < H_z^*$  и находится внутри ИП. Существование этого минимума обусловлено наличием кругого потенциального барьера со стороны границы ИП, где происходит скачок собственной энергии ДГ  $\sigma(y_0)$ . При отклонении от положения равновесия на ДГ действует возвращающая сила, коэффициент которой равен  $U''$ . Если ДГ лежит довольно близко к ИП, то величина  $U''$  различна при отклонении ДГ в противоположные стороны. Так, при смещении ДГ от границы ИП на ДГ действуют магнитостатические силы и  $U'_{(+)} \approx (32 \cdot M^2/h) \ln(1 + h^2/a^2)$ . Напротив, при отклонении ДГ к границе ИП преобладающей оказывается разница в поверхностном натяжении ДГ (скакок  $\sigma$ ), т. е.  $U'_{(-)} \approx |\sigma_1 - \sigma_2| \cdot \Delta^{-2}$ . Возвращающая сила со стороны границы ИП оказывается значительно больше магнитостатической  $U'_{(-)}/U'_{(+)} \approx Qh/\Delta \gg 1$ . Эта особенность потенциала  $U$  определяет динамику ВБЛ и приводит к явлению дрейфа ВБЛ вдоль ДГ.

6. Исследование уравнений (9) проведем подобно решению задачи о динамике ДГ с ВБЛ в переменном поле смещения, рассмотренной в работе [4]. Решение уравнения (9.2) методом Фурье приводит к соотношению между положением ДГ  $y_0$  и скоростью ВБЛ вдоль нее  $\dot{x}_0$ .

$$y_0(x, t) = Y + \frac{\pi M \dot{x}_0(t)}{\gamma \sqrt{\sigma U''}} \exp \left( -\sqrt{\frac{U''}{\sigma}} |x - x_0(t)| \right), \quad H_z^0 \ll 16M \frac{\Delta}{h \sqrt{Q}}. \quad (10)$$

Здесь  $y_0(x) = Y$  — равновесное положение ДГ,  $\omega$  — частота изменения поля  $H_z^0$ . Выражение (10) совпадает с результатом, полученным в работах [4, 5] для симметричного потенциального рельефа.

Теперь перейдем к уравнению (9.1). Рассмотрим сначала смещение ВБЛ за положительный полупериод колебаний  $H_x^0$ , когда ВБЛ изгибает ДГ в сторону

<sup>2</sup> Точный расчет структуры ДГ  $\theta(y)$  вблизи ИП показывает, что скачок  $\sigma(y_0)$  в (8) при  $y_0 = 0$  слаживается на расстояниях порядка толщины ДГ  $\Delta$ .

от ИП. Используя формулу (10), убедимся, что при достаточно больших частотах

$$\omega \gg 6\alpha\gamma M \sqrt{\frac{\Delta}{h}} \quad (11)$$

сила трения в левой части (9.1) мала по сравнению с гиротропной силой и ее можно пренебречь. Сравнивая после этого соотношения (9.1) и (10), находим величину смещения за полупериод в виде

$$x_0^{(+)} = \frac{16}{\pi} \Delta \cdot \sqrt{\frac{\Delta}{h} Q} \frac{\gamma^2 H_x^0 M}{\omega^2}. \quad (12)$$

На отрицательном полупериоде ВБЛ движется в сторону ИП. Отталкивание от границы ИП велико, и смещение ДГ оказывается малым. Это означает, что

в уравнении (9.1) можно пренебречь гиротропной силой по сравнению с силой трения. Непосредственной проверкой можно убедиться, что этот вывод справедлив при выполнении условия

$$\omega \ll 5\alpha\gamma M \sqrt{Q}. \quad (13)$$

При этом смещение ВБЛ оказывается равным

$$x_0^{(-)} = \pi\Delta \sqrt{Q} \frac{\gamma H_x^0}{\omega}, \quad (14)$$

Суммарный дрейф ВБЛ вдоль ДГ за полный период колебаний определяется разностью величин  $x_0^{-}$  и  $x_0^{+}$ . В силу неравенства (11) смещение в отрицательном направлении  $x_0^{-}$ , когда ДГ с ВБЛ «опирается» на границу ИП, существенно превосходит смещение за положительный полупериод. Схематическая зависимость положения ВБЛ в ДГ от времени действия переменного пла-парного поля представлена на рис. 3.

ВБЛ за полный период колебаний совершает возвратно-поступательное движение вдоль ДГ. Отношение среднего за период колебаний внешнего поля смещения ВБЛ вдоль ДГ значительно превосходит амплитуду ее колебаний. В полях  $H_x^0 \approx 100$  А/м и тактовой частоте 2 МГц смещение ВБЛ за период оставляет несколько микрометров, в то время как «откат» не превосходит

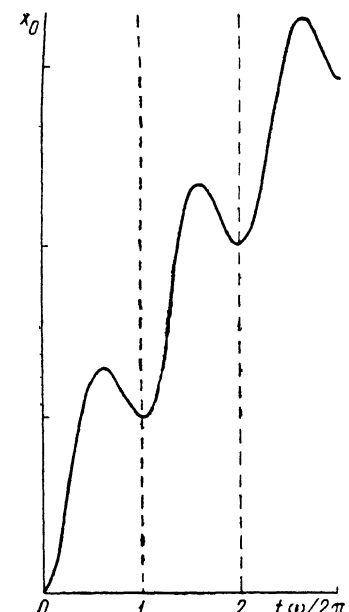


Рис. 3. Схема зависимости величины смещения ВБЛ вдоль ДГ  $x_0$  от времени  $t$  действия планарного поля  $H_x^0(t) = H_x^0 \cdot \sin(\omega t)$ .

полмикрометра. Диапазон частот, в котором реализуется сильный дрейф ВБЛ, определяется объединением условий (11) и (13). Для характерных параметров пленки ( $\gamma = 8 \cdot 10^4$  м/А·с,  $M = 10^4$  А/м,  $\alpha = 0.05$ ,  $Q = 16$ ,  $\Delta = 0.02$  мкм,  $h = 4$  мкм) частота  $\omega/2\pi$  лежит в пределах 1–40 МГц.

Принцип действия дрейфа ВБЛ может лieть в основу накопителей информации на ВБЛ. Имея в виду возможность совмещения таких устройств с элементами ЗУ на ЦМД, поле смещения должно быть близко к среднеарифметическому значению полей коллапса и эллиптической неустойчивости.

#### Список литературы

- [1] Konishi S. A. // IEEE Trans. Magn. 1983. Vol. MAG-19. N 5. P. 1838–1840.
- [2] Suzuki T., Azada H., Matsuyama K., Fujita E. et al. // IEEE Trans. Magn. 1986. Vol. MAG-22. N 5. P. 784–789.
- [3] Малоземов А., Слонзуски Дж. Доменные структуры в материалах с цилиндрическими магнитными доменами. М.: Мир, 1982. 382 с.
- [4] Зеевдин А. К., Попков А. Ф., Редько В. Г. // ЖЭТФ. 1985. Т. 55. Вып. 9. С. 1884–1886.
- [5] Никифоров А. В., Сонин Э. Б. // ЖЭТФ. 1986. Т. 90. Вып. 4. С. 1309–1317.